

# Verteilung ordinaler Muster in EEG-Daten

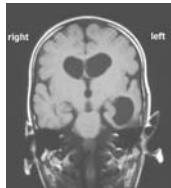
**Karsten Keller**  
**Mathieu Sinn**

**Institut für Mathematik**  
**Universität zu Lübeck**

GMDS-Jahrestagung 2006

# Beispiel<sup>1</sup>

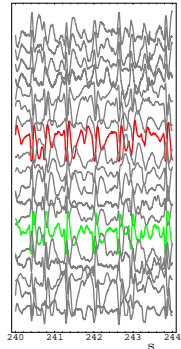
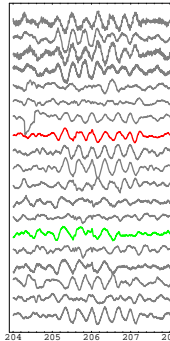
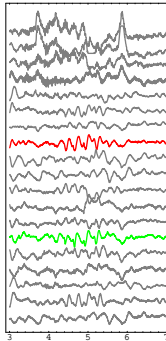
- ▶ Junge mit Verletzungen in der linken Gehirnhälfte, epileptischer Aktivität
- ▶ Ursache: konnatale Toxoplasmose der Mutter während Schwangerschaft



MRI

FP1		FP2			
F7	F3	FZ	F4	F8	
T3	C3	CZ	C4	T4	
T5	P3	PZ	P4	T6	
O1	O2				

Electrode positions



EEG time series

<sup>1</sup>K., Lauffer, *Int. J. Bifurcation Chaos* 13 (2003), 2657-2668

# Ziele für EEG-Analyse und darüber hinaus

- ▶ einfache Methoden (für erste und/oder automatische) explorative (hochdimensionale) Datenanalyse, die
  - ▶ robust gegenüber Rauschen und (kleinen/monotonen) Skalenänderungen
  - ▶ realisierbar durch sehr schnelle und flexible Algorithmen
- ▶ Quantifikation und Visualisierung
  - ▶ zeitlicher Komplexitätsänderungen
  - ▶ zeitlicher Änderungen der Ähnlichkeit, Unähnlichkeit, Kopplung zwischen Zeitreihenkomponenten
- ▶ Identifikation, Klassifikation and Diskriminierung (von Teilen) von Zeitreihen, die mit bestimmten 'Systemzuständen' assoziiert
- ▶ 'Unterscheidung' von 'Determinismus' und 'Stochastizität'

# Inhalt

1. Ordinale Zeitreihenanalyse
2. Exemplarisch: Entropieanalyse
3. Exemplarisch: Clusterung ordinaler Musterverteilungen

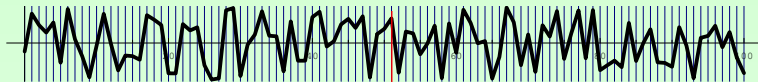
# 1. Ordinale Zeitreihenanalyse

# Idee der symbolischen Dynamik

original

Orbit eines (diskreten) dynamischen Systems, einer Zeitreihe

$\dots, X_{t-4}, X_{t-3}, X_{t-2}, X_{t-1}, X_t, X_{t+1}, X_{t+2}, X_{t+3}, X_{t+4}$



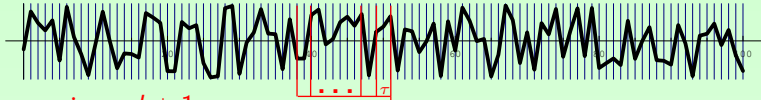
$\dots$   $\overset{1}{|}$   $\overset{2}{|}$   $\overset{3}{|}$   $\dots$   $\overset{n}{|}$   $\dots$   $\mathbb{R}$

symbolisch

$\dots, S_{t-4}, S_{t-3}, S_{t-2}, S_{t-1}, \textcolor{red}{S}_t, S_{t+1}, S_{t+2}, S_{t+3}, S_{t+4}$

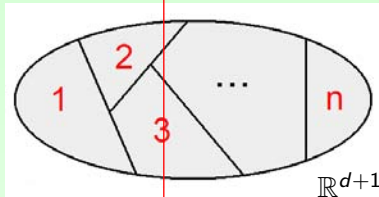
# Symbolische Dynamik für Delaykoordinaten<sup>2</sup>

original



Dimension  $d + 1$

Delay  $\tau$



symbolisch

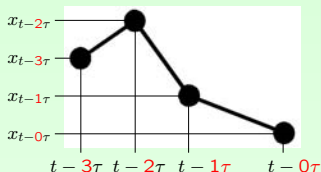
$\dots, s_{t-4}, s_{t-3}, s_{t-2}, s_{t-1}, s_t, s_{t+1}, s_{t+2}, s_{t+3}, s_{t+4}$

<sup>2</sup>Takens, in: Dynamical Systems and Turbulence, Springer 1981

# Ordinale Muster

- ▶ gegeben **Delay**  $\tau \in \{1, 2, 3, \dots\}$  und **Ordnung**  $d \in \{1, 2, 3, \dots\}$
- ▶ Delaykoordinaten liefern Vektoren  $(x_t, x_{t-\tau}, \dots, x_{t-(d-1)\tau}, x_{t-d\tau}) \in \mathbb{R}^{d+1}$
- ▶ Bestimmung des 'Ordnungstyps' dieser Vektoren liefern Zerlegung des  $\mathbb{R}^{d+1}$  in Mengen gleichen **ordinalen Musters** = Permutation  $\pi_d^\tau(t)$

**Beispiel:** ( $d = 3$ )

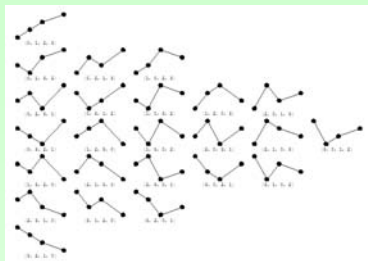


$$x_{t-2\tau} > x_{t-3\tau} > x_{t-1\tau} > x_{t-0\tau}$$

$$\pi_d^\tau(t) = (2, \quad 3, \quad 1, \quad 0)$$



# Analyse der Musterverteilung



- ▶ Zählen ordinaler Muster  $\pi_d^T(t)$  in (Teil) einer Zeitreihe
- ▶ Analyse der Musterverteilung
  - ▶ Permutationsentropie<sup>3</sup>
  - ▶ andere Maßzahlen<sup>4</sup>
  - ▶ multivariate Analysemethoden<sup>5, 6</sup>

<sup>3</sup> Bandt, Pompe, *Phys. Rev. Lett.* 88 (2002), 174102, auch Misiurewicz 2003

<sup>4</sup> K., Sinn, Ordinal analysis of EEG time series, *Chaos and Complexity Letters* 2 (2006)

<sup>5</sup> K., Wittfeld, *Int. J. Bifurcation Chaos* 14 (2004), 693-704

<sup>6</sup> Groth, Visualization and detection of coupling in time series by order recurrence plots. Greifswald 2004

## 2. Exemplarisch: Entropieanalyse

# Die Permutationsentropie

= Shannon-Entropie  $-\sum_{P \in \mathcal{P}_d} \mu(P) \ln \mu(P)$  für Zerlegung nach ordinalen Mustern  $\mathcal{P}_d$

für eindimensionale diskrete dynamische Systeme:

- ▶ Robustheit unter dynamischem und Beobachtungsrauschen<sup>7</sup>
- ▶ starke 'Limes'-Beziehung zur Kolmogorov-Sinai-Entropie<sup>8</sup>

## Theorem:

Ist  $f$  stückweise monotone Intervallabbildung und  $\mu$  ein invariantes Maß für  $f$ , so ist  $\lim_{d \rightarrow \infty} -\frac{1}{d} \sum_{P \in \mathcal{P}_d} \mu(P) \ln \mu(P)$  die Kolmogorov-Sinai-Entropie von  $f$ .

---

<sup>7</sup> Bandt, Pompe, *Phys. Rev. Lett.* 88 (2002)

<sup>8</sup> Bandt, G. Keller, Pompe, *Nonlinearity* 15 (2002), 1595-1602

# Empirische Permutationsentropie (multivariater Ansatz)

- Fenstergröße  $\delta$ ,  $m$  Kanäle,  $n = (d + 1)!$  ordinale Muster

$$\begin{aligned}
 (h_{ij})_{i,j=1}^{m,n} &= \left( \begin{array}{c} \text{relative Hufigkeit von Kombinationen} \\ \text{‘Kanal’ } i \text{ and ‘Muster’ } j \\ \text{im Zeitintervall } [t - \delta + 1, t] \end{array} \right)_{i,j=1}^{m,n} \\
 &= \left( \begin{array}{ccccc} h_{11} & \dots & h_{1j} & \dots & h_{1n} \\ \vdots & & \vdots & & \vdots \\ h_{i1} & \dots & h_{ij} & \dots & h_{in} \\ \vdots & & \vdots & & \vdots \\ h_{m1} & \dots & h_{mj} & \dots & h_{mn} \end{array} \right) \begin{array}{l} h_{1\cdot} = \frac{1}{m} \text{ ‘Kanal’ 1} \\ \vdots \\ h_{j\cdot} = \frac{1}{m} \text{ ‘Kanal’ } j \\ \vdots \\ h_{m\cdot} = \frac{1}{m} \text{ ‘Kanal’ } m \end{array} \\
 \text{‘totale’} & \quad \mathbf{h}_{\cdot 1} \quad \dots \quad \mathbf{h}_{\cdot j} \quad \dots \quad \mathbf{h}_{\cdot n}
 \end{aligned}$$

► **‘totale’ Permutationsentropie:**

$$E_t = - \sum_{j=1}^n \mathbf{h}_{\cdot j} \ln \mathbf{h}_{\cdot j}$$

► **i-th ‘Kanal’-Permutationsentropie:**

$$E_t^i = - \sum_{j=1}^n m h_{ij} \ln(m h_{ij})$$

► **Kontingenz:**

$$\varphi_t^2 = \sum_{i,j=1}^{m,n} \frac{(h_{ij} - h_{i\cdot} \mathbf{h}_{\cdot j})^2}{h_{i\cdot} \mathbf{h}_{\cdot j}} = \frac{1}{m} \sum_{i=1}^m \left( \sum_{j=1}^n \frac{(m h_{ij} - \mathbf{h}_{\cdot j})^2}{\mathbf{h}_{\cdot j}} \right)$$

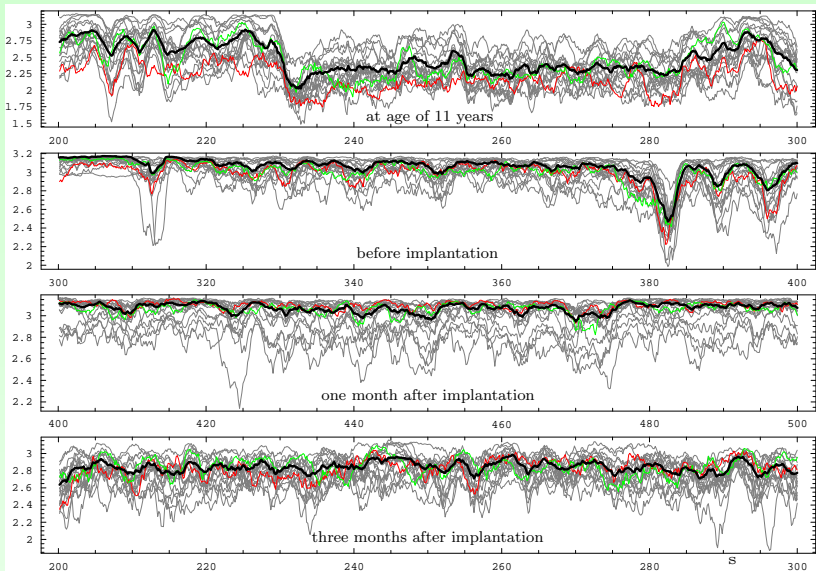
Wenn ‘Kanal’-Musterverteilung nicht ‘zu verschieden’:

$$E_t \approx \frac{1}{m} \sum_{i=1}^m E_t^i + \frac{\varphi_t^2}{2}$$

‘totale Kompl.’  $\approx$  ‘mittlere Kompl.’ + ‘Inhomogenität’

# Beispiel: Vagus-Stimulation und EEG-Analyse

‘totale’ und ‘Kanal-’ Permutationsentropie, gefenstert (2 s),  $d = 3$ ,  $\tau = 4$

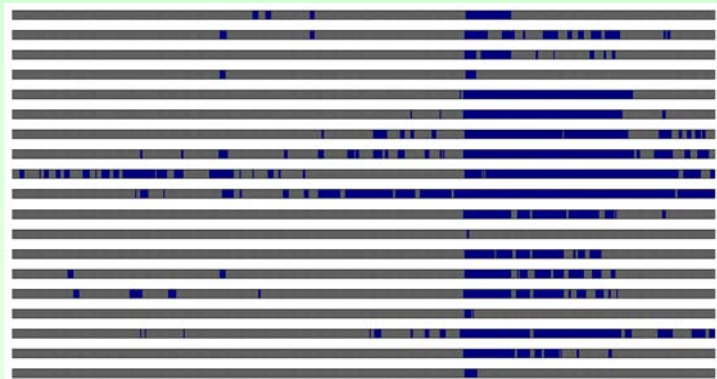


### 3. Exemplarisch: Clusterung ordinaler Musterverteilungen

# Idee

- ▶ Zerlegung aller EEG-Komponenten (Kanäle) in Abschnitte gleicher Länge
- ▶ Bestimmung der jeweiligen ordinalen Musterverteilungen
- ▶ Clusterung bezüglich eines Abstands von Musterverteilungen

$d = 3$ ,  $\tau = 1$ , Abschnitte von 2s, Variationsabstand, Complete Linkage, 2 Cluster





# Datamining

- ▶ gleichzeitige Visualisierung verschiedener EEG-Daten

